



AL-Rafidain
University College

PISSN: (1681-6870); EISSN: (2790-2293)
مجلة كلية الرافدين الجامعة للعلوم

Available online at: <https://www.jrucs.iq>

JRUCS

Journal of AL-Rafidain
University College for
Sciences

مراقبة وتحليل عملية حرق الغاز المصاحب باستخدام لوحات السيطرة متعددة المتغيرات

أ.د. جواد كاظم خضرير

jwad_k@uomustansiriyah.edu.iq

قسم الإحصاء- كلية الإدارة والاقتصاد- الجامعة المستنصرية، بغداد، العراق.

م.د. أزهار كاظم جباره

azhar_2017@uomustansiriyah.edu.iq

م. فراس منذر جاسم

firasm@uomustansiriyah.edu.iq

قسم الإحصاء- كلية الإدارة والاقتصاد- الجامعة المستنصرية، بغداد، العراق.

معلومات البحث

تواتریخ البحث

تاریخ تقديم البحث: 2023/1/12

تاریخ قبول البحث: 2023/3/3

تاریخ رفع البحث على الموقع: 2023/12/31

الكلمات المفتاحية

الغاز المصاحب، لوحات السيطرة اللامعلمية.

المستخلص

حرق الغازات المصاحبة عملية تؤدي إلى تلوث البيئة وتفاقم الاحتباس الحراري، كما تعد إهاراً لمصدر مهم من مصادر الطاقة. في هذا البحث تم دراسة وتحليل عمليات حرق الغازات المصاخبة في العراق على المدى التصدير، المتوسط والطويل باستخدام لوحات السيطرة، اذ تم توظيف تجارب المحاكاة بهدف المقارنة بين اربع لوحات سيطرة هي: لوحة T^2 (Hotelling T²), لوحة الوينتراب (Boot), لوحة (Kernel) ولوحة (KNN) باستخدام معايير المقارنة متوسط طول المدى (ARL)، القيمة المطلقة للتباين (BALR) والخطأ المعياري لمتوسط طول المدى (SEARL) وباستخدام عدة توزيعات عند مستويات معنوية وأحجام عينات مختلفة. وقد اظهرت نتائج المقارنة افضلية لوحة السيطرة Kernel على بقية اللوحات، ومن خلال تطبيق اللوحة على متغيرات تمثل حجم الغازات المصاخبة المحروقة في الشركات النفطية في العراق، تبين ان تلك الغازات الناتجة عن شعلات الابار النفطية كانت خارجة عن السيطرة على المدى القصير بشكل لافت للنظر، اذ يتضمن ان العملية يمكن ان تخرج عن السيطرة عند بداية عملية المراقبة، اما عند المراقبة على المدى المتوسط فان النتائج تشير انخفاض خروج العملية عن السيطرة وقد تخرج العملية عن السيطرة في منتصف مدة المراقبة، وعند مراقبة عملية احتراق الغازات المصاخبة على المدى الطويل فان خروج العملية عن السيطرة سيكون عند نهاية مدة المراقبة.

للمراسلة:

م. فراس منذر جاسم

firasm@uomustansiriyah.edu.iq

<https://doi.org/10.55562/jrucs.v54i1.602>

1. المقدمة

عملية حرق الغازات المصاخبة مثيرة للجدل لأنها ملوثة للجو وتفاقم من الاحتباس الحراري وتعد إهاراً واضحاً لمصدر مهم من مصادر الطاقة. تمثل عملية حرق الغاز المصاخب الذي تنتجه حقول النفط والذي يعرف بغاز الشعلة خطراً على البيئة وصحة الكائنات الحية، فضلاً عن كونه مصدراً لهدر كبير للطاقة. ويدعو البنك الدولي شركات النفط والطاقة إلى وقف جميع عمليات حرق الغاز المصاخب بحلول عام 2030. تكمن أهمية الغازات المصاخبة في عدة اتجاهات فيما يمكن معالجتها وبيعها كغاز معالج، أو قد يستخدم لتوليد الطاقة الكهربائية، كما يمكن ان يستخدم لتحسين استخراج النفط أو كمادة خام في المصانع البتروكيميائية. ويعتبر العراق أحد أكبر منتجي النفط مع ذلك فهو ثالث دولة بعد روسيا تحرق الغاز المصاخب دون الاستفادة منه. وقد وضعت خطط في السينين الماضية وبمدد زمنية محددة لانهاء عملية حرق الغاز، اذ انضم العراق في عام 2017 الى مبادرة البنك الدولي، لذلك وضعت الاهداف لقضى بانهاء عمليات حرق الغاز المصاخب بحلول عام 2030.. لذلك فإن مسألة مراقبة عملية حرق الغاز المصاخب في العراق هي مسألة ملحة وتعطي تقنيات عملياً لمتابعة تلك الاهداف، فضلاً ان مراقبة وتقدير عملية احرار الغاز المصاخب قد تعطي معلومات دقيقة بهدف الحد من التلوث البيئي. واحدى اهم وسائل مراقبات المراقبة الاحصائية على النوعية هي لوحات السيطرة متعددة المتغيرات، والتي يمكن من خلالها مراقبة عدة متغيرات في ان واحد وتحديد فيما إذا كانت العملية الخاضعة للمراقبة ضمن حدود السيطرة أم خارجها. هنالك دراسات عديدة في مجال لوحات السيطرة متعددة

المتغيرات ذكر منها: دراسة شاهين، حمزة اسماعيل وجاسم، فراس منذر 2017، اذ تم فيها استخدام المحاكاة لمقارنة اساليب ايجاد لوحدة هوتلنک T^2 متعددة المتغيرات بطريقة معلمية وطريقة لامعلمية، ودراسة عيسى، امينة كريم، التي ركزت على مقارنة لوحات السيطرة المعلمية واللامعلمية في مراقبة خصائص المياه الصالحة للشرب في بغداد، ودراسة عnad، فهد حسين 2020 والتي قام فيها بمراقبة خصائص المياه الصالحة للشرب في قضاء الشطارة باستخدام لوحات السيطرة اللامعلمية متعددة المتغيرات. في هذا البحث تم اجراء تجارب المحاكاة بهدف المقارنة بين اربع لوحات سيطرة هي: لوحدة (Hotelling T^2)، لوحدة البوتراب (Boot)، لوحدة (Kernel) ولوحة (KNN) باستخدام معايير المقارنة متوسط طول المدى (ARL) (Average Run Length)، القيمة المطلقة للتحيز (BALR) والخط المعياري لمتوسط طول المدى (SEARL) وعند مستويات معنوية واحجام عينات مختلفة. ومن ثم توظيف لوحدة السيطرة الافضل في دراسة وتحليل عمليات حرق الغازات المصاحبة في العراق على المدى القصير، المتوسط والطويل.

2. لوحة السيطرة (T^2) Control Chart : (Hotelling T^2)

لوحة السيطرة متعددة المتغيرات (Hotelling T^2) اسلوب احصائي معلمي يستخدم في مجالات السيطرة على النوعية للحالات التي تشمل عدة متغيرات (8)، وهي من اكثر لوحات السيطرة انتشارا بين لوحات السيطرة المعلمية متعددة المتغيرات كونها تميز بمراتبة الانحرافات وتحديد لها الحاصل في متعدد المتغيرات في ان واحد (2:pp158). بافتراض ان لدينا مجموعة من البيانات بحجم (n) من المشاهدات وتم سحب (p) من المتغيرات لكل مشاهدة (n = 1,2, ..., n)، وان البيانات تتوزع توزيعاً طبيعياً متعدد المتغيرات بمتجه المتوسطات (μ) ومصفوفة التباين والتباين المشترك (Σ) غير معلومتين، وبذلك يجب تقديرهما من بيانات العينة، عندها فان احصاء (T^2) ستكون وفق الصيغة الآتية [2,1]:

$$(1) \quad T_j^2 = (X_j - \bar{X})' S^{-1} (X_j - \bar{X})$$

اذ ان X_j : المشاهدات لعدد (p) من المتغيرات، \bar{X} : متجه متوسط العينة لعدد (p) من المتغيرات وعدد (n) من المشاهدات، S : مصفوفة التباين والتباين المشترك بالابعاد ($p \times p$)، وان \bar{X} و S يمثلان مقدري طريقة الامكان الاعظم لمتجه المتوسطات (μ) ومصفوفة التباين والتباين المشترك (Σ) على التوالي، ويمكن تقديرهما وفق الصيغة الآتية [2,1]:

$$(2) \quad \bar{X}_j = \frac{\sum_{i=1}^n X_j}{n}, \quad S = \frac{\sum_{j=1}^n (X_j - \bar{X})' (X_j - \bar{X})}{n-1}, \quad j = 1, 2, \dots, p$$

ويتم حساب الحد الاعلى للسيطرة (UCL) لوحدة هوتلنک (Hotelling) بمستوى معنوية (α) باستخدام الصيغة الآتية [2,1]:

$$(3) \quad UCL = T_{(\alpha, n-p, p)}^2 = \frac{p(n+1)(n-1)}{n(n-p)} F_{\alpha, p, n-p}$$

اذ ان n : حجم العينة، P : عدد المتغيرات $F_{\alpha, p, n-p}$: تمثل النسبة المئوية $(1-\alpha)^{th}$ من توزيع F . وتحت افتراض التوزيع الطبيعي متعدد المتغيرات فان احصاء (T^2) Hotelling (Hotelling T^2) يتبع توزيع F -Distribution (F-Distribution) بدرجتي حرية ($p, n-p$) وبمعدل إنذار كاذب (FAR) (α)، وبذلك تصبح صيغة الحد الاعلى للسيطرة (UCL) على الشكل الآتي [4,3]:

$$(4) \quad UCL = \frac{p(n+1)(n-1)}{n(n-p)} F_{\alpha, p, n-p}$$

اذ تم مقارنة قيم هوتلنک احصاء (T^2) للمشاهدات $j = 1, 2, \dots, n$ = زمع الحد الاعلى للسيطرة. وتحدد قيمة (α) في كثير من الاحيان من قبل الباحث والتي تكون محسوبة بين الصفر والواحد ويقدر معدل الخطأ من النوع الاول بنسبة عدد المشاهدات ضمن السيطرة فتكون عملية اتخاذ القرار بخصوص جودة العملية اذا كان الحد الاعلى للسيطرة (UCL) (Upper Control Limit) اكبر من T_j^2 ، اي ان العملية داخل السيطرة اذا كانت [4,3]:

$$(5) \quad T_j^2 < UCL, \quad \text{for all } j$$

وتكون العملية خارج السيطرة، اي عندما $T_j^2 > UCL$.

3. لوحة السيطرة البوتراب: Bootstrap Control Chart

تعد طريقة البوتراب احدى طرائق إعادة المعاينة (Resampling)، وتتلخص الآية عمل لوحة السيطرة (Boot) في إعادة المعاينة على الاحصاءات المحسوبة من لوحدة (T^2) Hotelling، ثم يتم حساب حد السيطرة الاعلى بعد إعادة المعاينة، اذ يتم حساب احصاءات هوتلنک (T_j^2) لمشاهدات العينة، ومن ثم يتم سحب (B) من عينات البوتراب مع الإرجاع المشاهدات، عندها وكل عينة (لكل تكرار) من عينات البوتراب يتم تحديد النسبة المئوية $[1-(1-\alpha)^{th}]$ وبمعدل إنذار كاذب (α)، وان حد السيطرة الاعلى هو متوسط الاحصاءات المحسوبة في الخطوة، اي ان [6,5,1]:

$$UCL_{(Boot)} = \frac{1}{B} \sum_{b=1}^B T_{100(1-\alpha)}^{2(b)}, b = 1, 2, \dots, B \quad (6)$$

4. لوحة السيطرة اللامعلمية :Kernel Control Chart

بعد التمهيد اللامعلمي احد الاساليب الرئيسة للتعامل مع البيانات الخطية، ويعتمد على اساليب المختلفة لتمهيد تلك البيانات منها اسلوب الدوال الالجبرية (Kernel Function) والتي تعرف على انها دوال وزنية احتمالية حقيقية، مستمرة ومتماثلة، ويمكن التعبير عن الدالة الالجبرية رياضياً من خلال العلاقة التالية [7]:

$$p(a \leq u \leq b) = \int_a^b k(u) du, \quad \text{for all } a < b \quad (7)$$

وان الصيغة الرياضية لتقدير دالة الكثافة الإحتمالية ($f(t)$) للمتغير العشوائي T (قيمة احصاء Hotteling) بإستعمال الدوال الالجبرية تعرف بالشكل التالي [7]:

$$\hat{f}(z) = \frac{1}{nh} \sum_{j=1}^n k(u) = \frac{1}{nh} \sum_{j=1}^n k\left(\frac{t - T_j}{h}\right), i = 1, 2, \dots, n, u = \frac{t - T_j}{h} \quad (8)$$

إذ ان (u): تمثل دالة التمهيد الالجبرية، h : عرض الحزمة او معلمة التمهيد. ومن اكثر الدوال الالجبرية استخداماً في التمهيد اللامعلمي هي (Gaussian)، وصيغتها الرياضية [7]:

$$K(u) = \frac{1}{\sqrt{2\pi}} e^{-\frac{u^2}{2}}, 0 < u < \infty \quad (9)$$

ومن المسائل المهمة عند إستعمال الدوال الالجبرية هي بعرض الحزمة (Bandwidth) ويرمز له بالرمز (h)، وهناك عدة طرائق لإختيار عرض الحزمة ومن أشهرها هي طريقة العبور الشرعي (cv) (Cross Validation Method) والتي تعتمد على طريقة المربعات الصغرى للعبور الشرعي (Least square Cross Validation) اي يجعل متوسط مربعات الخطأ التكاملية (MISE) اقل ما يمكن، وعلى إستبعاد قيمة واحدة من قيم المشاهدات في كل مرة (Leave-One-Out) ، ويمكن تلخيص خطوات التقدير وفق طريقة (LSCV) بإفتراض قيم أولية لمعلمة التمهيد (h)، ومن ثم حذف المشاهدة i للحصول على $(\hat{f}_{-i}(t_i))$ عند نقاط المشاهدات وكما يلي [7]:

$$\hat{f}_{-i}(t_i) = \frac{1}{(n-1)h} \sum_{j \neq i}^n K\left(\frac{t_i - t_j}{h}\right) \quad (10)$$

ومن خلال صيغة دالة المربعات الصغرى للعبور الشرعي التالية [7]:

$$LSCV(h) = \frac{1}{n^2 h} \sum_{j=1}^n K * K\left(\frac{t_j - t_k}{h}\right) - \frac{2}{n} \sum_{i=1}^n \hat{f}_{-i}(t_i) \quad (11)$$

اذ ان $(K * K)(.)$: يمثل الالتفاف للدالة الالجبرية، $K * K(u) = \int K(u - v)kv$. عندما يمكن تكرار الخطوات اعلاه واختيار معلمة التمهيد التي تقابل أصغر $LSCV(h)$ ، اي [7] :

$$h_{LSCV} = argmin_h LSCV(h) \quad (12)$$

وبعد تحديد النسبة المئوية $[100(1 - \alpha)]^{th}$ بالاعتماد على قيمة (α) ، فإنه يمكن ايجاد حد السيطرة الاعلى وفق الصيغة الآتية [9,5] :

$$CL_{Kernel} = \hat{f}_h(T_j)^{-1} (1 - \alpha) \quad (13)$$

5. لوحة السيطرة اللامعلمية :KNN

تعتمد طبيعة هذه اللوحة على خوارزمية الجوار الاقرب (K-Nearest Neighbor Algorithm)(KNN)، وتعد خوارزمية (KNN) من خوارزميات التصنيف اللامعلمية وتعتمد على توليد المقدرات المكانية لمشاهدة معينة من خلال قياس المسافة الاقلية بين تلك نقطة والنقطة الاقرب اليها، اذ تزداد المسافة الاقلية بين النقاط كلما تباعدت قيم البيانات، وتقل كلما كانت البيانات متقاربة. لتوضيح الية ايجاد الحد الاعلى للسيطرة اللوحة KNN، $NN_i(T)$ لنفرض $NN_i(T)$ التي تمثل عينة الجوار الاقرب للاحصاء (T) المراد تصنيفها، عندها فان الاحصاء K التي تمثل معدل المسافة بين (T) واحصاءات الجوار الاقرب لها تعرف وفق الصيغة الآتية [10]:

$$K = \frac{\sum_{i=1}^K \|T - NN_i(T)\|}{T} \quad (14)$$

وبافتراض ان $K_{nb}, K_{2b}, \dots, K_{1b}$ حيث ان $b = 1, 2, \dots, B$ تمثل الاحصاءات المرتبة لـ b من عينات البوتستراب كعينات تمثيلية (Bootstrap)، بحيث ان $K_{mb} < \dots < K_{1b} < K_{2b} < \dots < K_{nb}$ ، عندها وبعد تحديد النسبة المئوية $[00(1 - \alpha)^{th}]$ وبمعدل اندار α ، فإنه يمكن ايجاد حد السيطرة الاعلى وفق الصيغة الآتية [10]:

$$UCL = \sum_{b=1}^B \frac{K_{jb}^2}{B} , j = 1, \dots, n , b = 1, 2, \dots, B \quad (15)$$

6. الجانب التجريبي

في تجارب المحاكاة تم توليد المتغيرات العشوائية $p = 5$ لأربع حالات هي:

case I : $\underline{X} \sim MN_p(\underline{\mu}, \Sigma)$

اذ تم توليد متغيرات تتبع التوزيع الطبيعي متعدد المتغيرات (MN) (Multivariate Normal distribution) اعتماداً على متجه متوسطات ($\underline{\mu}$) ومصفوفة التباين والتباين المشترك (Σ) الخاصة بالبيانات الحقيقة وكما ياتي:

$$\underline{\mu} = [2.47, 98.54, 1097.97, 85.92, 275.53]$$

$$\Sigma = \begin{bmatrix} 1.19 & 4.05 & 7.94 & 3.26 & 10.28 \\ & 54.66 & 98.93 & 38.33 & 84.61 \\ & & 439.1 & 113.6 & 241.7 \\ & & & 49.58 & 85.55 \\ & & & & 228.2 \end{bmatrix}$$

case II : $\underline{X} \sim MSN_p^+(\underline{\mu}_1, \Sigma)$

وتم توليد متغيرات تتبع التوزيع الطبيعي الملتوى (MSN) (Multivariate Skew Normal distribution) متعدد المتغيرات بمتجه متوسطات يساوي $\underline{S}_1 + \underline{\mu}_1 = \underline{\mu}$ ، حيث ان (\underline{S}) متجه له ذات ابعاد المتجه $\underline{\mu}$ ، وان $\underline{\mu} * \underline{S}_1 = 0.2$.

case III : $\underline{X} \sim MSN_p^-(\underline{\mu}_2, \Sigma)$

كما تم توليد متغيرات تتبع التوزيع الطبيعي الملتوى (MSN) متعدد المتغيرات بمتجه متوسطات مساوي الى $\underline{S}_2 = \underline{\mu} - \underline{\mu}_2$ ، حيث ان (\underline{S}) متجه له ذات ابعاد المتجه $\underline{\mu}$ ، وان $\underline{\mu} * \underline{S}_2 = 0.1$

case IV : $\underline{X} \sim MT_p(\underline{\mu}_t, \Sigma_t)$

وايضا تم توليد متغيرات تتبع توزيع (t) متعدد المتغيرات (MT) (Multivariate t Student distribution) من خلال تحويل متغيرات التوزيع الطبيعي الى التوزيع الطبيعي القياسي للحصول على متجه المتوسطات $\underline{\mu}_t = \underline{0}$ ، ومصفوفة تباينات توزيع (t) الآتية [11]:

$$\Sigma_t = \frac{v}{v-2} \sum , v = n - p \quad (16)$$

ومن ثم تم ايجاد لوحات السيطرة التي ذكرت في الجانب النظري المتمثلة بلوحة هوتلنگ T^2 ، لوحدة Hotelling T^2 Boot بتكرار (B=1000)، لوحدة KNNer chart بالدالة اللبية Gaussian وبعرض حزمة محسوب وفق طريقة العبور الشرعي، خارطة K chart، بعدد متجاورات بلغ (4) وبتكرار بوتسنtrap بلغ (BK=500) لحساب حد السيطرة الاعلى. ومن اجل مقارنة اداء لوحات السيطرة تم حساب متوسط طول المدى ARL لكل لوحدة عند فترات المراقبة القصيرة والمتوسطة والطويلة ، أي ($0.1, 0.04, 0.02, 0.01$) $\alpha = 0.1, 0.04, 0.02, 0.01$ ولحجم العينات كافة، علما ان حجوم العينات كانت $n = 12, 24, 48, 96$ ، وان تكرار كل تجربة هو (R=5000). فضلا عن ذلك، تم استخراج النتائج بالاعتماد على برنامج مكتوب بلغة (R) بالإصدار (4.3) كما هو مبين في الجداول من (1) الى (3) ادناء.

جدول (1): متوسط طول المدى (ARL) لكافة تجارب المحاكاة

| Case | α | ARL ₀ | n = 12 | | | | n = 24 | | | |
|------|----------|------------------|----------------|-------|--------|--------|----------------|-------|--------|-------|
| | | | T ² | Boot | Kernel | KNN | T ² | Boot | Kernel | KNN |
| I | 0.2 | 5 | 5.12 | 5.15 | 4.51 | 4.48 | 4.61 | 4.57 | 5.26 | 5.23 |
| | 0.1 | 10 | 9.47 | 9.39 | 10.79 | 10.74 | 9.57 | 9.5 | 10.91 | 10.86 |
| | 0.04 | 25 | 24.66 | 24.46 | 25.58 | 25.45 | 24.49 | 24.29 | 25.71 | 25.58 |
| | 0.02 | 50 | 49.17 | 48.77 | 51.63 | 51.37 | 49.33 | 48.94 | 51.8 | 51.54 |
| | 0.01 | 100 | 98.83 | 98.04 | 103.78 | 103.26 | 99.07 | 98.27 | 104.02 | 103.5 |

| | | 0.2 | 5 | 6.36 | 6.04 | 4.45 | 4.46 | 6.22 | 5.91 | 4.48 | 4.49 |
|-----|------|----------|---------|----------------------|-------------|---------------|------------|----------------------|-------------|---------------|------------|
| II | 0.1 | 10 | 12.04 | 11.32 | 9.27 | 9.3 | 11.84 | 11.12 | 9.33 | 9.34 | |
| | 0.04 | 25 | 28.06 | 26.37 | 24.13 | 24.2 | 27.75 | 26.09 | 24.28 | 24.32 | |
| | 0.02 | 50 | 54.59 | 51.86 | 48.86 | 49 | 54.13 | 51.42 | 49.15 | 49.25 | |
| | 0.01 | 100 | 106.88 | 102.61 | 98.33 | 98.63 | 106.19 | 102.26 | 98.92 | 99.12 | |
| | 0.2 | 5 | 3.3 | 3.84 | 3.8 | 3.83 | 3.39 | 3.89 | 3.94 | 3.93 | |
| III | 0.1 | 10 | 7.96 | 8.86 | 8.76 | 8.84 | 8.06 | 8.87 | 8.98 | 8.96 | |
| | 0.04 | 25 | 22.55 | 23.68 | 23.97 | 23.92 | 22.68 | 23.81 | 24.1 | 24.05 | |
| | 0.02 | 50 | 47.06 | 48.01 | 48.58 | 48.49 | 47.21 | 48.15 | 48.73 | 48.64 | |
| | 0.01 | 100 | 96.48 | 97.44 | 98.61 | 98.42 | 96.65 | 97.62 | 98.79 | 98.6 | |
| | 0.2 | 5 | 7.95 | 6.12 | 5.96 | 5.9 | 7.65 | 5.89 | 5.78 | 5.84 | |
| IV | 0.1 | 10 | 14.42 | 11.25 | 11.11 | 11 | 13.98 | 10.91 | 10.78 | 10.88 | |
| | 0.04 | 25 | 31.64 | 26.57 | 26 | 26.34 | 30.97 | 26.02 | 25.74 | 26 | |
| | 0.02 | 50 | 59.96 | 52.16 | 51.3 | 51.56 | 58.96 | 51.29 | 50.79 | 51.3 | |
| | 0.01 | 100 | 114.93 | 104.59 | 101.29 | 102.18 | 113.44 | 103.23 | 101.27 | 101.78 | |
| | Case | α | ARL_0 | n = 48 | | | | n = 96 | | | |
| | | | | T² | Boot | Kernel | KNN | T² | Boot | Kernel | KNN |
| I | 0.2 | 5 | 4.83 | 4.79 | 5.33 | 5.26 | 4.84 | 4.8 | 5.36 | 5.28 | |
| | 0.1 | 10 | 9.7 | 9.62 | 10.86 | 10.8 | 9.82 | 9.74 | 10.8 | 10.75 | |
| | 0.04 | 25 | 24.64 | 24.44 | 25.58 | 25.46 | 24.78 | 24.79 | 25.46 | 25.33 | |
| | 0.02 | 50 | 49.53 | 49.14 | 51.54 | 51.28 | 49.72 | 49.32 | 51.28 | 51.03 | |
| | 0.01 | 100 | 99.35 | 98.55 | 103.5 | 102.98 | 99.61 | 98.81 | 102.98 | 102.47 | |
| II | 0.2 | 5 | 6.08 | 5.77 | 4.51 | 4.52 | 5.93 | 5.57 | 4.61 | 4.63 | |
| | 0.1 | 10 | 11.61 | 10.8 | 9.41 | 9.44 | 11.39 | 10.59 | 9.6 | 9.62 | |
| | 0.04 | 25 | 27.42 | 25.91 | 24.32 | 24.37 | 27.08 | 25.73 | 24.59 | 24.58 | |
| | 0.02 | 50 | 53.63 | 50.95 | 49.29 | 49.32 | 53.12 | 50.79 | 49.47 | 49.52 | |
| | 0.01 | 100 | 105.45 | 101.23 | 99.12 | 99.22 | 104.69 | 100.71 | 99.22 | 99.47 | |
| III | 0.2 | 5 | 3.47 | 3.99 | 4.26 | 4.23 | 3.54 | 4.11 | 4.38 | 4.24 | |
| | 0.1 | 10 | 8.16 | 8.98 | 9.07 | 9.08 | 8.25 | 9.08 | 9.19 | 9.16 | |
| | 0.04 | 25 | 22.79 | 23.93 | 24.17 | 24.22 | 22.9 | 24.05 | 24.34 | 24.29 | |
| | 0.02 | 50 | 47.35 | 48.3 | 48.78 | 48.88 | 47.48 | 48.43 | 49.18 | 48.92 | |
| | 0.01 | 100 | 96.82 | 97.79 | 98.77 | 98.96 | 96.98 | 97.95 | 99.13 | 98.93 | |
| IV | 0.2 | 5 | 7.39 | 5.69 | 5.67 | 5.69 | 7.15 | 5.61 | 5.51 | 5.56 | |
| | 0.1 | 10 | 13.58 | 10.6 | 1.66 | 10.75 | 13.23 | 10.32 | 10.35 | 10.45 | |
| | 0.04 | 25 | 30.38 | 26.43 | 25.48 | 25.81 | 29.84 | 26.06 | 25.22 | 25.48 | |
| | 0.02 | 50 | 58.06 | 52.55 | 50.52 | 51.05 | 57.26 | 49.03 | 50.28 | 50.79 | |
| | 0.01 | 100 | 112.1 | 102.71 | 100.76 | 101.27 | 110.89 | 100.68 | 100.26 | 100.36 | |

جدول (2): معدل التحيز لمتوسط طول المدى (BARL) لكافة تجارب المحاكاة

| Case | α | ARL_0 | n = 12 | | | | n = 24 | | | |
|------|----------|---------|----------------------|-------------|---------------|-------------|----------------------|-------------|---------------|-------------|
| | | | T² | Boot | Kernel | KNN | T² | Boot | Kernel | KNN |
| I | 0.2 | 5 | 0.12 | 0.15 | 0.49 | 0.52 | 0.39 | 0.43 | 0.26 | 0.23 |
| | 0.1 | 10 | 0.53 | 0.61 | 0.79 | 0.74 | 0.43 | 0.5 | 0.91 | 0.86 |
| | 0.04 | 25 | 0.34 | 0.54 | 0.58 | 0.45 | 0.51 | 0.71 | 0.71 | 0.58 |
| | 0.02 | 50 | 0.83 | 1.23 | 1.63 | 1.37 | 0.67 | 1.06 | 1.8 | 1.54 |
| | 0.01 | 100 | 1.17 | 1.96 | 3.78 | 3.26 | 0.93 | 1.73 | 4.02 | 3.5 |
| II | 0.2 | 5 | 1.36 | 1.04 | 0.55 | 0.54 | 1.22 | 0.91 | 0.52 | 0.51 |
| | 0.1 | 10 | 2.04 | 1.32 | 0.73 | 0.7 | 1.84 | 1.12 | 0.67 | 0.66 |
| | 0.04 | 25 | 3.06 | 1.37 | 0.87 | 0.8 | 2.75 | 1.09 | 0.72 | 0.68 |
| | 0.02 | 50 | 4.59 | 1.86 | 1.14 | 1 | 4.13 | 1.42 | 0.85 | 0.75 |
| | 0.01 | 100 | 6.88 | 2.61 | 1.67 | 1.37 | 6.19 | 2.26 | 1.08 | 0.88 |
| III | 0.2 | 5 | 1.7 | 1.2 | 1.16 | 1.17 | 1.61 | 1.11 | 1.06 | 1.07 |
| | 0.1 | 10 | 2.04 | 1.24 | 1.14 | 1.16 | 1.94 | 1.13 | 1.02 | 1.04 |
| | 0.04 | 25 | 2.45 | 1.32 | 1.03 | 1.08 | 2.32 | 1.19 | 0.9 | 0.95 |
| | 0.02 | 50 | 2.94 | 1.99 | 1.42 | 1.51 | 2.79 | 1.85 | 1.27 | 1.36 |
| | 0.01 | 100 | 3.52 | 2.56 | 1.39 | 1.58 | 3.35 | 2.38 | 1.21 | 1.4 |

| | | | | | | | | | | |
|-------------|----------|---------|----------------------|-------------|---------------|-------------|----------------------|-------------|---------------|-------------|
| IV | 0.2 | 5 | 2.95 | 1.12 | 0.9 | 0.96 | 2.65 | 0.89 | 0.78 | 0.84 |
| | 0.1 | 10 | 4.42 | 1.25 | 1 | 1.11 | 3.98 | 0.91 | 90.7 | 0.88 |
| | 0.04 | 25 | 6.64 | 1.57 | 1 | 1.34 | 5.97 | 1.02 | 0.74 | 1 |
| | 0.02 | 50 | 9.96 | 2.16 | 1.3 | 1.56 | 8.96 | 1.29 | 0.79 | 1.3 |
| | 0.01 | 100 | 14.93 | 4.59 | 1.29 | 2.18 | 13.44 | 3.23 | 1.27 | 1.78 |
| Case | α | ARL_0 | n = 48 | | | | n = 96 | | | |
| | | | T² | Boot | Kernel | KNN | T² | Boot | Kernel | KNN |
| I | 0.2 | 5 | 0.17 | 0.21 | 0.33 | 0.26 | 0.16 | 0.2 | 0.36 | 0.28 |
| | 0.1 | 10 | 0.3 | 0.38 | 0.86 | 0.8 | 0.18 | 0.26 | 0.8 | 0.75 |
| | 0.04 | 25 | 0.36 | 0.56 | 0.58 | 0.46 | 0.22 | 0.21 | 0.46 | 0.33 |
| | 0.02 | 50 | 0.47 | 0.86 | 1.54 | 1.28 | 0.28 | 0.68 | 1.28 | 1.03 |
| | 0.01 | 100 | 0.65 | 1.45 | 3.5 | 2.98 | 0.39 | 1.19 | 2.98 | 2.47 |
| II | 0.2 | 5 | 1.08 | 0.77 | 0.49 | 0.48 | 0.93 | 0.57 | 0.39 | 0.37 |
| | 0.1 | 10 | 1.61 | 0.8 | 0.59 | 0.56 | 1.39 | 0.59 | 0.4 | 0.38 |
| | 0.04 | 25 | 2.42 | 0.91 | 0.68 | 0.63 | 2.08 | 0.73 | 0.41 | 0.42 |
| | 0.02 | 50 | 3.63 | 0.95 | 0.71 | 0.68 | 3.12 | 0.79 | 0.53 | 0.48 |
| | 0.01 | 100 | 5.45 | 1.23 | 0.88 | 0.78 | 4.69 | 0.71 | 0.78 | 0.53 |
| III | 0.2 | 5 | 1.53 | 1.01 | 0.74 | 0.77 | 1.46 | 0.89 | 0.62 | 0.76 |
| | 0.1 | 10 | 1.84 | 1.02 | 0.93 | 0.92 | 1.75 | 0.92 | 0.81 | 0.84 |
| | 0.04 | 25 | 2.21 | 1.07 | 0.83 | 0.78 | 2.1 | 0.95 | 0.66 | 0.71 |
| | 0.02 | 50 | 2.65 | 1.7 | 1.22 | 1.12 | 2.52 | 1.57 | 0.82 | 1.08 |
| | 0.01 | 100 | 3.18 | 2.21 | 1.23 | 1.04 | 3.02 | 2.05 | 0.87 | 1.07 |
| IV | 0.2 | 5 | 2.39 | 0.69 | 0.67 | 0.69 | 2.15 | 0.61 | 0.51 | 0.56 |
| | 0.1 | 10 | 3.58 | 0.6 | 8.34 | 0.75 | 3.23 | 0.32 | 0.35 | 0.45 |
| | 0.04 | 25 | 5.38 | 1.43 | 0.48 | 0.81 | 4.84 | 1.06 | 0.22 | 0.48 |
| | 0.02 | 50 | 8.06 | 2.55 | 0.52 | 1.05 | 7.26 | 0.97 | 0.28 | 0.79 |
| | 0.01 | 100 | 12.1 | 2.71 | 0.76 | 1.27 | 10.89 | 0.68 | 0.26 | 0.36 |

جدول (3): الخطأ المعياري لمتوسط طول المدى (ARL) لكافة تجارب المحاكاة

| Case | α | ARL_0 | n = 12 | | | | n = 24 | | | |
|-------------|----------|---------|----------------------|-------------|---------------|--------------|----------------------|-------------|---------------|--------------|
| | | | T² | Boot | Kernel | KNN | T² | Boot | Kernel | KNN |
| I | 0.2 | 5 | 0.01 | 0.012 | 0.04 | 0.043 | 0.019 | 0.021 | 0.035 | 0.032 |
| | 0.1 | 10 | 0.045 | 0.051 | 0.066 | 0.061 | 0.036 | 0.042 | 0.076 | 0.072 |
| | 0.04 | 25 | 0.051 | 0.037 | 0.077 | 0.07 | 0.043 | 0.059 | 0.059 | 0.049 |
| | 0.02 | 50 | 0.069 | 0.102 | 0.135 | 0.114 | 0.056 | 0.088 | 0.15 | 0.128 |
| | 0.01 | 100 | 0.097 | 0.163 | 0.315 | 0.271 | 0.078 | 0.144 | 0.335 | 0.292 |
| II | 0.2 | 5 | 0.113 | 0.087 | 0.046 | 0.045 | 0.102 | 0.076 | 0.043 | 0.041 |
| | 0.1 | 10 | 0.17 | 0.11 | 0.061 | 0.059 | 0.153 | 0.094 | 0.056 | 0.055 |
| | 0.04 | 25 | 0.255 | 0.115 | 0.072 | 0.066 | 0.229 | 0.091 | 0.06 | 0.056 |
| | 0.02 | 50 | 0.382 | 0.155 | 0.095 | 0.083 | 0.344 | 0.119 | 0.071 | 0.063 |
| | 0.01 | 100 | 0.573 | 0.217 | 0.139 | 0.114 | 0.516 | 0.189 | 0.09 | 0.073 |
| III | 0.2 | 5 | 0.142 | 0.1 | 0.097 | 0.097 | 0.135 | 0.092 | 0.088 | 0.089 |
| | 0.1 | 10 | 0.17 | 0.104 | 0.095 | 0.096 | 0.161 | 0.094 | 0.085 | 0.087 |
| | 0.04 | 25 | 0.204 | 0.11 | 0.086 | 0.09 | 0.194 | 0.099 | 0.075 | 0.079 |
| | 0.02 | 50 | 0.245 | 0.166 | 0.118 | 0.126 | 0.232 | 0.154 | 0.106 | 0.114 |
| | 0.01 | 100 | 0.294 | 0.213 | 0.116 | 0.132 | 0.279 | 0.198 | 0.101 | 0.117 |
| IV | 0.2 | 5 | 0.246 | 0.093 | 0.075 | 0.082 | 0.221 | 0.075 | 0.065 | 0.07 |
| | 0.1 | 10 | 0.369 | 0.104 | 0.083 | 0.092 | 0.332 | 0.076 | 0.068 | 0.074 |
| | 0.04 | 25 | 0.553 | 0.131 | 0.091 | 0.105 | 0.498 | 0.085 | 0.061 | 0.083 |
| | 0.02 | 50 | 0.83 | 0.18 | 0.109 | 0.13 | 0.747 | 0.108 | 0.066 | 0.109 |
| | 0.01 | 100 | 1.244 | 0.382 | 0.148 | 0.191 | 1.12 | 0.269 | 0.106 | 0.148 |

| Case | α | ARL ₀ | <i>n = 48</i> | | | | <i>n = 96</i> | | | |
|------|----------|------------------|----------------|-------|--------------|--------------|----------------|--------------|--------------|--------------|
| | | | T ² | Boot | Kernel | KNN | T ² | Boot | Kernel | KNN |
| I | 0.2 | 5 | 0.014 | 0.018 | 0.023 | 0.026 | 0.028 | 0.037 | 0.047 | 0.053 |
| | 0.1 | 10 | 0.025 | 0.031 | 0.072 | 0.067 | 0.051 | 0.063 | 0.146 | 0.136 |
| | 0.04 | 25 | 0.03 | 0.046 | 0.049 | 0.038 | 0.061 | 0.093 | 0.099 | 0.077 |
| | 0.02 | 50 | 0.039 | 0.072 | 0.128 | 0.107 | 0.079 | 0.146 | 0.260 | 0.217 |
| | 0.01 | 100 | 0.054 | 0.121 | 0.292 | 0.249 | 0.110 | 0.246 | 0.593 | 0.505 |
| II | 0.2 | 5 | 0.09 | 0.064 | 0.041 | 0.038 | 0.183 | 0.130 | 0.083 | 0.081 |
| | 0.1 | 10 | 0.135 | 0.067 | 0.049 | 0.047 | 0.274 | 0.136 | 0.099 | 0.095 |
| | 0.04 | 25 | 0.202 | 0.076 | 0.05 | 0.044 | 0.410 | 0.154 | 0.102 | 0.089 |
| | 0.02 | 50 | 0.303 | 0.079 | 0.052 | 0.048 | 0.615 | 0.160 | 0.106 | 0.097 |
| | 0.01 | 100 | 0.454 | 0.103 | 0.073 | 0.057 | 0.922 | 0.209 | 0.148 | 0.116 |
| III | 0.2 | 5 | 0.128 | 0.084 | 0.051 | 0.081 | 0.260 | 0.171 | 0.122 | 0.164 |
| | 0.1 | 10 | 0.153 | 0.085 | 0.066 | 0.078 | 0.311 | 0.173 | 0.128 | 0.158 |
| | 0.04 | 25 | 0.184 | 0.089 | 0.075 | 0.069 | 0.374 | 0.181 | 0.132 | 0.140 |
| | 0.02 | 50 | 0.221 | 0.142 | 0.094 | 0.102 | 0.449 | 0.288 | 0.191 | 0.207 |
| | 0.01 | 100 | 0.265 | 0.184 | 0.116 | 0.103 | 0.538 | 0.374 | 0.175 | 0.209 |
| IV | 0.2 | 5 | 0.199 | 0.057 | 0.056 | 0.061 | 0.404 | 0.136 | 0.114 | 0.124 |
| | 0.1 | 10 | 0.299 | 0.05 | 0.027 | 0.036 | 0.607 | 0.142 | 0.095 | 0.133 |
| | 0.04 | 25 | 0.448 | 0.063 | 0.04 | 0.051 | 0.909 | 0.168 | 0.081 | 0.104 |
| | 0.02 | 50 | 0.672 | 0.043 | 0.045 | 0.087 | 1.364 | 0.087 | 0.091 | 0.177 |
| | 0.01 | 100 | 1.008 | 0.167 | 0.064 | 0.106 | 2.046 | 0.339 | 0.13 | 0.215 |

من خلال الجدول (1) الى (3) اعلاه التي تتضمن كلا من قيم متوسط طول المدى (ARL)، قيم التحيز لمتوسط طول المدى (BARL) وقيم الخط المعياري لمتوسط طول المدى (SEARL) على الترتيب ولتجارب المحاكاة كافة، يتضح انه في حالة التوزيع الطبيعي متعدد المتغيرات يتضح من خلال التجارب المذكورة ان لوحات السيطرة طبقاً لاقرابة قيم (ARL) من قيمة متوسط طول المدى الحقيقية (المفترضة) (ARL₀) واعتماداً على اقل القيم لـ (SEARL) كان ترتيبها على النحو الاتي: لوحدة T²، لوحدة Boot، لوحدة KNN ولوحة Kernel. وعند الحالة الثانية اي عند التوزيع الطبيعي الملتوي التواء موجب (SMN⁺) فأن لوحدة KNN حققت قيم اقل (ARL) كانت الاقرب لقيمة متوسط طول المدى المفترضة (ARL₀) ، وتليها لوحة Kernel، ثم لوحة Boot واخيراً لوحة T²، وان هذا الترتيب تؤكد القيم الاقل لكل من (BARL) و (SEARL). اما في حالة التوزيع الطبيعي الملتوي بالالتواء سالب (SMN⁻) اي عند الحالة الثالثة فأن لوحدة Kernel حصلت على قيم (ARL) الاقرب لقيم متوسط طول المدى المفترضة (ARL₀) والاقل لقيم كلا من (SEARL) و (BARL)، ثم تلتها لوحة KNN ، ثم تلتها لوحة Boot واخيراً لوحة T². وفي الحالة الرابعة عند توزيع (t) متعدد المتغيرات فقد كانت قيم (ARL) الاقرب لقيم (ARL₀) والقيم الاقل لـ (SEARL) فد سجلتها لوحة السيطرة Kernel تلتها لوحة KNN وقد حلت لوحة Boot بالترتيب الثالث، واخيراً لوحة T². كما نلاحظ ان قيم (ARL) الاقرب من قيم (ARL₀) وقيم كلا من (BARL) و (SEARL) الاقل سجلت عندما $\alpha = 0.2$ ، وان القيم (ARL) الاكثر تباعداً عن قيم (ARL₀) وقيم كلا من (BARL) و (SEARL) الاعلى قد سجلت عندما $\alpha = 0.01$.

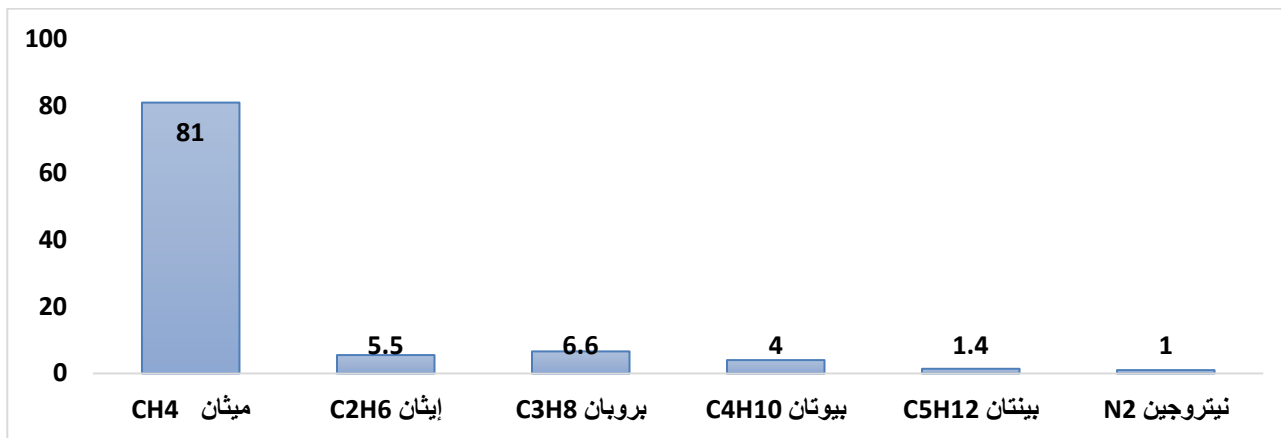
7. الجانب التطبيقي

تمهيد

ان الغاز الطبيعي (غاز الشعلات) هو مصطلح يدل على عملية حرق الغاز الفانض الذي يخرج من باطن الأرض أثناء التنقية عن النفط وإنتاجه، وان ألسنة اللهب العملاقة التي تخرج من فوهات عملاقة في المنشآت النفطية هي نتيجة لحرق هذا الغاز، كما قد يجري حرق الغاز المصاحب على الأرض، او عند رأس بئر النفط، وهذه العملية أكثر شيوعاً في بلدان مثل الولايات المتحدة الأمريكية روسيا ودول الخليج. إن التلوث الناجم عن الصناعة النفطية سواء كانت الصناعة استخراجية أم تكريرية أو صناعة الغاز الطبيعي، تسبب خلاً بالنظام البيئي وتشكل أبرز ملوثات البيئة وأكثرها قدرة على الكائنات الحية [12].

جدول (5): مكونات الغاز المصاحب ونسبة كل مكون

| النسبة المئوية | المكونات | ميثان CH ₄ | إيثان C ₂ H ₆ | بروبان C ₃ H ₈ | بيوتان C ₄ H ₁₀ | بنيتان C ₅ H ₁₂ | نيتروجين N ₂ |
|----------------|----------|-----------------------|-------------------------------------|--------------------------------------|---------------------------------------|---------------------------------------|-------------------------|
| 81 | | 5.5 | 6.6 | 4 | 1.4 | 1 | |



شكل (1): مكونات الغاز المصاحب ونسبة كل مكون

تقسم احتياطيات الغاز الطبيعي في العراق إلى ثلاثة أنواع رئيسية، النوع الأول هو الغاز الطبيعي المصاحب الذي تبلغ نسبة 71% ويأتي مصاحباً لإنتاج النفط في الحقول النفطية التابعة لشركات نفط الشمال ونفط الوسط ونفط الجنوب، والنوع الثاني هو الغاز الطبيعي الحر، وأخيراً غاز القبب. والجدول (5) والجدول (1) اعلاه يوضح مكونات الغاز المصاحب ونسبة كل مكون [12].

ان بيانات البحث تمثل كميات الغاز المصاحب المحروقة من الشعلات في كل من شركة نفط الشمال بنوعين من الغاز الصاحب هما الحلو (X1)، الغاز الحامضي (X2)، شركة نفط الوسط (X3)، شركة نفط البصرة (X4) وشركة نفط ميسان (X5). وتم تسجيل كميات الغاز المصاحب المحترق الشهرية ابتداء من شهر كانون الثاني من عام 2016 لغاية كانون الاول من عام 2020، اي بواقع (48) مشاهدة. والجدول (6) يبين بعض الاحصاءات الوصفية للبيانات المدروسة، فضلاً عن نتائج اختبارات حسن المطابقة لتلك المتغيرات. تجدر الاشارة الى انه تم الحصول على البيانات من التقارير الاحصائية السنوية الصادرة من الجهاز المركزي للاحصاء لل فترة من 2016-2020 [13].

جدول (6): اختبارات حسن المطابقة للمتغيرات

| T | Min | Max | Median | Mean | S.D. | K.S. | P-value |
|----------------|-------|--------|--------|--------|--------|--------|---------|
| X ₁ | 0.75 | 5.79 | 2.23 | 2.473 | 1.19 | 0.0877 | 0.854 |
| X ₂ | 12.52 | 193.34 | 73.58 | 85.92 | 49.58 | 0.1324 | 0.3394 |
| X ₃ | 7.85 | 270.46 | 90.50 | 98.55 | 54.66 | 0.0884 | 0.8472 |
| X ₄ | 213.8 | 2249.8 | 1041.1 | 1098.0 | 439.1 | 0.1085 | 0.6239 |
| X ₅ | 5.04 | 783.42 | 201.22 | 275.54 | 228.27 | 0.1157 | 0.4016 |

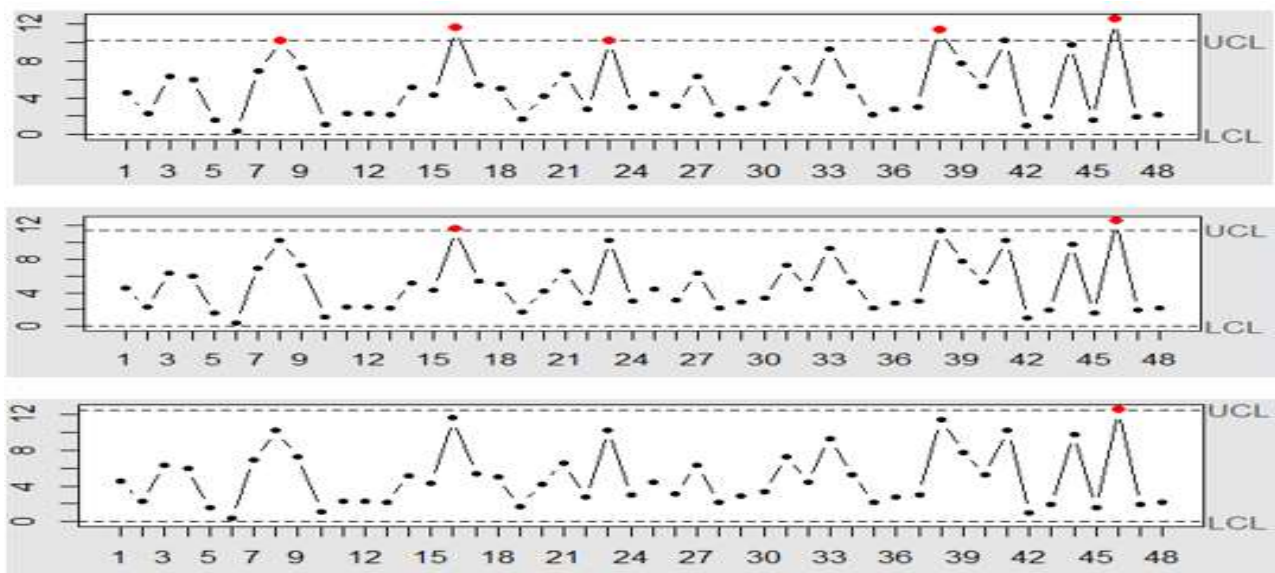
ويتبين من خلال الجدول (6) اعلاه ان اقل قيمة للغاز المصاحب المحروق بلغت (0.75) مليون م³ في شركة نفط الشمال، وان اعلى قيمة للغازات المحروقة بلغت (2249.8) مليون م³ في شركة نفط البصرة. كذلك فان اعلى متوسط لغازات المحروقة من الشعلات بلغ (1098) مليون م³ في شركة نفط البصرة، وان اقل متوسط للغازات المحروقة من الشعلات بلغ (2.473) مليون م³ في شركة نفط الشمال. كما تبين ان المتغيرات الخمسة تتبع توزيع t، حيث كانت قيم p-value لاختبارات حسن المطابقة (Kolmogorov-Smirnov test) اكبر من مستوى المعنوية (0.05) وهذا يؤكّد قبول فرضية العدم التي تنص على ان المتغيرات تتبع التوزيع المعنوي.

واستناداً الى نتائج الجانب التجريبي فقد تم تطبيق كلا من لوحة السيطرة الامثلية Kernel بالدالة الليبية Gaussian وعرض حزمة مقدر بطريقة العبور الشرعي، فضلاً عن ثلاثة مستويات للمعنوية هي (12/1)، (24/1) و (48/1). ومن ثم ايجاد كلا من متوسط طول المدى، مقدار التحيز لمتوسط طول المدى (BARL) والخط المعياري لمتوسط طول المدى (SEARL).

وتشير النتائج في الجدول (7) والشكل (2) ادناه انه عند متوسط طول مدى ARL₀=12 (ARL₀=12) فان الحد الاعلى للسيطرة للوحدة Kernel بلغ (10.2)، وان اول خروج عن السيطرة كان عند العينة (8)، وان عدد العينات خارج السيطرة بلغ (5)، وبمتوسط طول مدى ARL=9.559 (ARL=24)، في حين عندما (ARL=24) فان حد السيطرة الاعلى بلغ (11.4)، وان اول عينة خارج السيطرة كانت العينة (15)، وان عدد العينات خارج السيطرة بلغ (3)، اي بمتوسط طول مدى ARL=24.272 (ARL=24)، في حين عندما (ARL=24) فان حد السيطرة الاعلى بلغ (12.53)، وان اول عينة خارج السيطرة كانت العينة (45)، وعدد العينات خارج السيطرة بلغ عينة واحدة، اي بمتوسط طول مدى ARL=48.78 (ARL=48.78).

جدول (7): نتائج تطبيق لوحتي السيطرة الامثلية Kernel

| α | ARL ₀ | UCL | ARL | BARL | SEARL |
|----------|------------------|-------|--------|--------|-------|
| 0.083 | 12 | 10.20 | 9.599 | 2.401 | 0.832 |
| 0.0417 | 24 | 11.40 | 24.272 | -0.272 | 0.011 |
| 0.0208 | 48 | 12.53 | 48.78 | -0.78 | 0.087 |



شكل (2): لوحة السيطرة اللامعلمية Kernel عند قيم متوسط طول المدى $ARL_0=12,24,48$

(الشكل في الأعلى يمثل لوحة السيطرة عندما $\alpha = 0.083$)

8. الاستنتاجات

من خلال النتائج التي تم التوصل إليها في الجانبين التجريبي والتطبيقي، توصل الباحثون إلى:

1. ان بيانات عمليات الاحتراق للغاز المصاحب لعمليات إنتاج النفط والغاز تتبع توزيع (t).
2. ان لوحتي السيطرة Hotelling T^2 ، (Boot)، Kernel متعددة المتغيرات تعملن بكفاءة اذا كانت المتغيرات تتبع التوزيع الطبيعي، في حين ان لوحتي السيطرة اللامعلمية Kernel تعملن بكفاءة اكبر مع التوزيع الطبيعي الملتوى التواء سالباً، وعند عمليات المراقبة المتوسطة وطويلة الاجل في حالة توزيع (t) متعدد المتغيرات، في حين تعمل لوحة السيطرة اللامعلمية K تعمل بكفاءة اكبر مع التوزيع الطبيعي الملتوى التواء موجباً وعند عمليات المراقبة قصيرة الاجل عند توزيع (t) متعدد المتغيرات.
3. ان توظيف طريقة البوتستراسب مع لوحة السيطرة Hotelling T^2 يؤدي الى استقرار النتائج للوحة (T²، Kernel) فقد سجلت لوحة السيطرة (Boot) النتائج الاكثر استقراراً في هذا البحث.
4. كلما قلت قيمة معدل الانذار الكاذب (α) اقتربت قيمة متوسط طول المدى (ARL) وكلها لوحات السيطرة اللامعلمية واللامعلمية من قيم طول المدى المفترضة (ARL_0).
5. لقد لوحظ ان زيادة حجم العينة ادي الى ابتعاد القيم التقديرية لمتوسط طول المدى ARL عن قيمة متوسط طول المدى المفترضة ARL_0 ولوحات السيطرة المستعملة كافة.
6. بشكل عام فان عملية مراقبة الغازات المصاحبة تشير الى ان تلك الغازات الناتجة عن شعلات الابار النفطية كانت خارجة عن السيطرة على المدى القصير بشكل لافت للنظر، اذ يتضح ان العملية يمكن ان تخرج عن السيطرة عند بداية عملية المراقبة، اما عند المراقبة على المدى المتوسط فان النتائج تشير انخفاض خروج العملية عن السيطرة عن السيطرة في منتصف مدة المراقبة، وعند مراقبة عملية احتراق الغازات المصاحبة على المدى الطويل، تخرج العملية عن السيطرة عند نهاية مدة المراقبة.
7. حرق الغازات المصاحبة في العراق تمثل هدراً للموارد ناهيك عن التلوث البيئي الكبير، ولما كانت نتائج عملية المراقبة تشير الى امكانية السيطرة على تلك العملية على المدى الطويل، فان هذا يعني وجود استراتيجية لإدارة الغاز واستغلاله، لذلك فان هذه الانبعاثات تؤدي الى ضياع هذا المصدر المهم من مصادر الطاقة تمثل عملية احتراق الغازات المصاحبة ، لذلك نجد من الضروري تكثيف الجهد وایجاد الحلول لخفض انبعاثات الغاز المصاحب في عمليات إنتاج النفط والغاز.

المصادر

- [1] H. Hotelling, Multivariate Quality Control in Techniques of Statistical Analysis, McGraw Hall, New York, 1947.
- [2] H.S. Shaheen, F.M., Jassim. "The Procedure of the Bootstrap for Multivariate T2 Control Charts", The Scientific Journal of Cihan University, 1(3), 2017.
- [3] M. Hanna, "Statistical Study of Multivariate Quality Control Procedures and its Applications". Master Thesis in Applied Statistics, Faculty Commerce, Banha University 2007.
- [4] D.C. Montgomery, Introduction to Statistical Quality Control, 4th Edition, Wiley, New York , 2001.

- [5] P. Phaladianon, & et al., "Bootstrap-Based T2 Multivariate Control Chart", Journal of Communication in Statistics , 40(5), p.p.645-662, 2011.
- [6] B. Efron. "More Efficient Bootstrap Computations". JASA, 85(409), pp.79-98, 1990.
- [7] W. Hardle, A. Werwatz , M. Muller , S. Sperlich. Nonparametric and Semiparametric Models, Springer Series in Statistics, (2004)
- [8] J. Li, "Nonparametric Multivariate Statistical Process Control Charts : a hypothesis testing – based approach", Journal of Nonparametric Statistics, 27(3) , 384-400, 2015.
- [9] J. Yue, L. Liu. "Multivariate Nonparametric Control Chart with Variable Sampling Interval". Applied Mathematical Modeling, Vol. (52), pp. 603-612, 2017.
- [10] T. Sukchotrat, "Data Mining Driven Approaches for Process Monitoring and Diagnosis", PH.D. Thesis in Applied Statistics, University of Texas, 2008.
- [11] J.E. Jackson, & R.A Bradley, "Sequential Multivariate Procedures for Means with Quality Control Application", Multivariate Analysis, (1) , pp. 507-519, 1966.
- [12] A. Javaheri &A. Houshmand," Average Run Length Comparison of Multivariate Control charts", Journal of Statistical Computation and Simulation , 69(2) , pp. 125-140, 2001.
- [13] Environmental statistics reports issued by the Central Statistical Organization 2014-2021.



AL- Rafidain
University College

PISSN: (1681-6870); EISSN: (2790-2293)

Journal of AL-Rafidain University College for Sciences

Available online at: <https://www.jrucs.iq>

JRUCS

Journal of AL-Rafidain
University College for
Sciences

Monitoring and Analyzing the Associated Gas Flaring Process Using Multivariate Control Charts

Lect. Dr. Azhar K. Jbarah

azhar_2017@uomustansiriyah.edu.iq

Prof. Dr. Jawad K. Khudhier

jwad_k@uomustansiriyah.edu.iq

Department of Statistics, College of Administration and Economics, Al-Mustansiriyah University, Baghdad, Iraq

Lect. Firas M. Jassim

firasm@uomustansiriyah.edu.iq

Department of Statistics, College of Administration and Economics, Al-Mustansiriyah University, Baghdad, Iraq

Article Information

Article History:

Received: January, 12, 2023

Accepted: March, 3, 2023

Available Online: December, 31, 2023

Abstract

The process of burning related gases pollutes the environment and makes global warming worse. Additionally, it is a waste of a significant energy source. In this research, the associated gas burning processes in Iraq were studied and analyzed over short, medium, and long terms using control panels. (Kernel) and panels (KNN) using comparison criteria such as mean range length (ARL), absolute value of bias (BALR), and standard error of average range length (SEARL) and using several distributions at different levels of significance and sample sizes. The results of the comparison demonstrated the preference of the kernel control panel over the other panels. Additionally, in the panel's application to variables representing the volume of related gases burned in Iraq's oil companies, it was found that the gases produced by oil well flares were noticeably out of control in the short term, as It is clear that the process can get out of control at the beginning of the monitoring process, but when monitoring in the medium term, the results indicate a decrease in the process getting out of control, and the process may get out of control in the middle of the monitoring period. Finally, when observing the associated gas combustion process in the long term, the process will be out of control at the end of the monitoring period.

Keywords:

Associated gas, nonparametric control charts.

Correspondence:

Lect. Firas M. Jassim

firasm@uomustansiriyah.edu.iq

<https://doi.org/10.55562/jrucs.v54i1.602>